

## 소형 CW Sub-THz 이미징 시스템을 이용한 물체의 비파괴 이미징

### Nondestructive Imaging of an Object Using the Compact Continuous-Wave Sub-Terahertz Imaging System

장진석\*, 권일범\*, 윤동진\*, 서대철\*†

Jin-Seok Jang\*, Il-Bub Kwon\*, Dong-Jin Yoon\* and Dae-Cheol Seo\*†

초록 전기적인 장치를 기반으로 한 테라헤르츠 송신기(terahertz transmitter; Tx)를 이용하여 0.34 THz의 전자기파를 발생시키는 소형 CW sub-THz 이미징 시스템을 제시하였다. Tx에 의해 발생된 0.34 THz의 전자기파를 point by point 스캔방식으로 샘플에 투과시켰고, 여기서 얻어진 데이터는 테라헤르츠 수신기(terahertz receiver; Rx)를 이용하여 진폭(magnitude)과 위상(phase) 정보로 측정한 후 이를 영상화하였다. 이 논문에서는 보다 좋은 이미지 해상도를 얻기 위하여 데이터 수집 시 이미지의 분해능(resolution)에 영향을 미치는 주사 스테이지(scanning stage)의 시간지연과 스텝거리를 변수로 두어 다양한 샘플들을 주사하여 그 결과를 측정, 비교하였다. 또한 플라스틱, 종이, 나무 등 다양한 샘플들의 이미징 측정을 통해 테라헤르츠 파의 응용 가능성을 확인하였다.

주요용어: 테라헤르츠 이미징, 테라헤르츠 송신기 및 수신기, 위상 및 크기, 해상도

**Abstract** This paper presented compact CW sub-THz imaging system using the terahertz transmitter(Tx) that generating 0.34 THz electromagnetic wave on based electronic device. Using 0.34 THz electromagnetic wave generated by Tx, we transmitted to sample by point by point scan method and measured transmitting terahertz wave magnitude and phase information respectively with terahertz receiver(Rx) based on sub harmonic mixer. This paper measured and compared images of several samples to obtain better imaging results by changing time delay and step distance of scanning stage which affect image resolution. Also, through the imaging measurement of various samples, we were able to assure possibility of application of terahertz wave.

**Keywords:** THz Imaging, CW Sub-THz Wave, Terahertz Transmitter and Receiver, Phase and Magnitude, Image Resolution, Nondestructive Testing

#### 1. 서 론

현재, 테라헤르츠(terahertz; THz) 전자기파에 대한 응용기술이 전세계적으로 많은 관심을 끌고 있다. THz파는 일반적으로 0.1 THz에서 10 THz에 이르는 주파수 영역을 나타내고 있으며, 파장으로는 3 mm ~ 30 μm 범위의 전자기파로써 마이크로

파와 광파의 가운데에 위치함에 따라 마이크로파가 가지는 투과성과 광파가 가지는 직진성을 동시에 보유한다는 장점을 가지고 있다. 또한 THz파 에너지는 대부분의 분자들이 가지는 에너지 즉, 비틀림, 진동, 회전 에너지 등과 공명을 잘 일으키므로 물질 고유의 독특한 흡수 스펙트럼을 확인할 수 있다. 이러한 THz파의 특성을 이용한 응용이 분광학,

[접수일: 2009. 12. 7, 수정일: (1차: 2010. 4. 19, 2차: 2010. 8. 4) 게재확정일: 2010. 8. 6] \*한국표준과학연구원 안전 측정센터, †Corresponding Author: Center for Safety Measurement, Korea Research Institute of Standards and Science, Daejeon 305-340, Korea, (E-mail: dcseo@kriss.re.kr)

이미징 분야에서 최근 활발히 연구되고 있다[1-5]. 일반적으로 THz파를 발생시키기 위한 방법으로는 크게 레이저와 같은 광학장치를 이용하는 방법[6,7], 다이오드와 같은 전자장치를 이용하는 방법[8,9]으로 나뉘는데 광학적인 장치를 이용하는 경우, 넓은 주파수 스펙트럼을 얻을 수 있으며, 이를 이용하여 물질 고유의 흡수 스펙트럼(absorption spectrum)[10], 깊이(depth)와 거리 정보(range information)[11] 등과 같은 물체의 광범위한 정보를 얻을 수 있다는 장점이 있으나 샘플 측정시 소요시간이 길며, 규모가 크고 설치비용이 많이 든다는 단점도 있다. 이러한 단점은 물체의 실시간 비파괴검사를 목표로 하는 이미징 연구분야에서는 치명적인 약점이 된다.

이미징을 위한 source로써의 THz파는 전통적인 마이크로파에 비해 충분히 짧은 파장을 가지기 때문에 공간 분해능이 매우 우수하며, 물과 금속을 제외한 거의 모든 물체를 투과할 수 있다. 또한 현재 의학, 보안 등의 분야에서 다양한 용도로 사용되고 있는 X-ray, r-ray보다는 매우 낮은 에너지를 가지고 있어 인체에 무해하다는 장점을 가진다. 이러한 특성들은 최근 THz파가 이미징 분야에서 세계적인 관심을 끌고 있는 이유 중의 하나이기도 하다[12,13].

이 논문에서 우리는 THz 이미징을 통한 물체의 실시간 비파괴 측정을 목표로 하는 그룹으로써, 이미징 시스템을 소형화하고 간결화 할 수 있을 뿐만 아니라 샘플의 빠른 측정이 가능하고 상대적으로 적은 설치비용이 드는 방법으로 다이오드, 발진기(oscillator), 배율기(multipliers)등과 같은 전자장치를 이용한 소형 CW sub-THz 이미징 시스템을 제시한다[8,14].

본 실험에서 사용된 CW sub-THz 이미징 시스템은 그 발생과 검출이 순수한 전자장치를 이용한 것으로, 위상 잠금된 DRO(dielectric resonator oscillators)와 배율기를 이용하여 0.34 THz의 전자기파를 발생시켰으며, schottky diode detector로부터 진폭과 위상을 각각 측정하여 비교하였다. 이 논문을 통해 이미지 측정 시 해상도에 영향을 미치는 요인인 주사 스테이지의 시간지연과 스텝거리를 조절하여 샘플을 이미징 함으로써 최적의 이미지 측정을 위한 조건을 제시하고 종이상자, 나무상자, 플라스틱 용기 등 다양한 재질의 포장재 내부 이미지 확인을 통해 비파괴 측정 도구로써 THz 이미징 기술의 실용화 가능성을 확인하였다.

## 2. 실험장치 구성

Fig. 1은 실험에서 사용된 CW sub-THz 이미징 시스템의 전체 구성도이며, Fig. 2는 THz transmitter와 receiver를 구성하고 있는 장치들의 디어그램을 나타낸 것이다. 발진기에 의해 발생된 14.007 GHz의 초기 신호는 증폭기와 배율기 등에 의해 최종 336.168 GHz(약 0.34T Hz)의 전자기파를 발생시켰다. 발생된 파장 약 0.9 mm의 0.34 THz파는 직경 약 7 mm 정도의 혼 안테나(horn antenna)를 통해 방사되어 샘플을 투과하였고 여기서 얻어진 데이터는 Tx와 같은 원리의 Rx

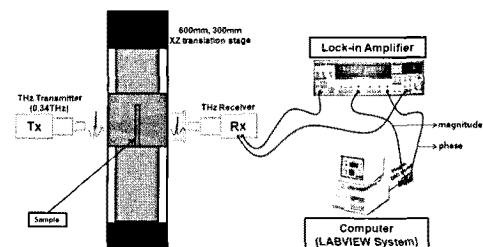
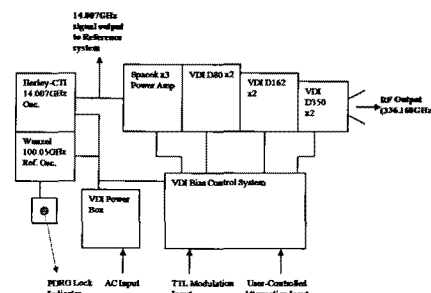
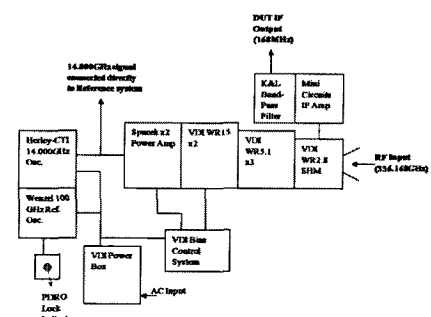


Fig. 1 Schematic of CW sub-THz imaging system



(a)



(b)

Fig. 2 Diagram of (a) THz transmitter (b) THz receiver

에 의해 진폭과 위상에 대한 정보로 나뉘어져 lock-in 증폭기로 읽고 그 데이터를 컴퓨터에 각각 저장하였다. 샘플은 XZ translation stage에 고정시켜 이동시켰고 이미지는 샘플을 point by point 방식으로 주사하여 얻었다.

Tx의 최대출력은 17 mW이며, Rx의 mixer 변환 손실은 10.5 dB이다. 0.34 THz의 고주파수를 안정하게 측정하기 위해 sub-harmonic mixer를 사용하여 168 MHz의 IF(intermediate frequency)로 변조하여 신호를 측정하였다. 시스템의 동작 범위(dynamic range)는 94 dB이며 최대 104 dB까지 증가한다.

Fig. 3(a), (b)는 lock-in 증폭기에서 측정한 Tx-Rx의 안정도를 나타낸 그림으로 시간변화에 따른 진폭과 위상의 변동률을 보여준다. 진폭의 경우 시간이 지남에 따라 0.005 dBm 정도의 변동률을 나타내었고, 위상은 3~5 deg 정도의 변동률을 나타낸다. 이는 실험에서 사용된 Tx-Rx가 sub-THz 이미징 시스템을 구성하는데 필요한 높은 출력과 안정성을 가지고 있음을 보여준다.

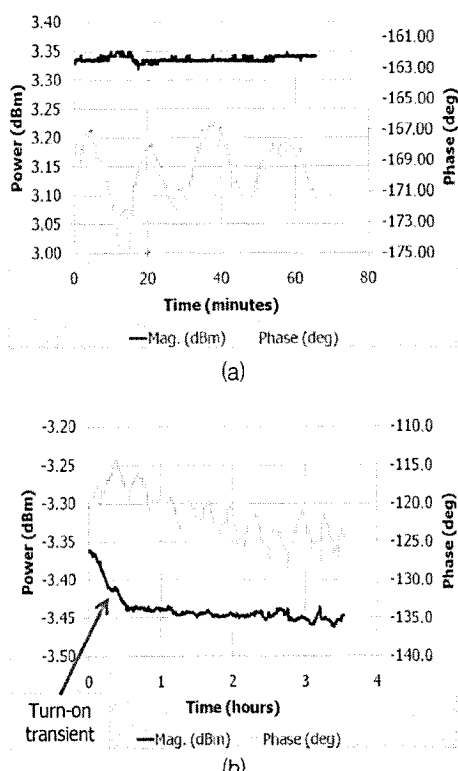


Fig. 3 (a) Full Tx-Rx 0.34 THz stability with minutes, (b) Full Tx-Rx 0.34 THz stability with hours

### 3. 결과 및 분석

#### 3.1. THz Imaging 해상도

알루미늄 슬릿을 이용하여 스텝거리에 따른 이미지를 측정하였다. 각 슬릿 사이의 간격은 5 mm로 일정하게 유지한 상태에서 슬릿의 폭을 각각 0.5, 0.6, 0.7, 0.8, 0.9, 1.0, 1.2, 1.4, 1.6, 1.8, 2.0, 2.5, 3 mm로 다양하게 한 후 데이터 수집을 위한 시간 지연을 기본 1초로 고정시키고 스텝거리를 각각 1 mm, 0.1 mm로 하여 0.34 THz파를 투과시켜 측정하였다. 이는 다양한 폭의 슬릿들을 각각 비교함으로써 THz 이미징 시스템이 mm 단위의 작은 변화에도 정확한 분석이 가능한지 알아보기 위한 실험으로 그 결과를 Fig. 4(a)~(d)에 나타내었다. 스텝거리 1 mm로 측정한 Fig. 4(a), (b)의 경우 샘플 전체의 진폭과 위상에 대한 이미지 측정 결과를 나타내었고, 스텝거리 0.1 mm로 측정한 Fig. 4(c), (d)는 슬릿의 일부분만 측정하여 결과를 나타내었다. 각 측정 결과에서 알 수 있듯이 스텝거리 1 mm와 0.1 mm의 진폭과 위상 이미지 모두 각각의 슬릿에 대한 식별이 가능함을 확인하였으며 스텝거리에 따른 해상도의 차이도 확인할 수 있었다. 각 슬릿의 모서리 부분에서 나타난 퍼짐현상은 THz파의 회절에 의한 것이다.

Fig. 5(a), (b)는 알루미늄 슬릿의 투과도 그래프를 나타낸 것으로, 스텝거리 0.1 mm일 때의 투과도 그래프가 스텝거리 1 mm 일 때와 비교하여 다양한 폭의 슬릿을 THz파가 투과함에 있어서 매우 안정

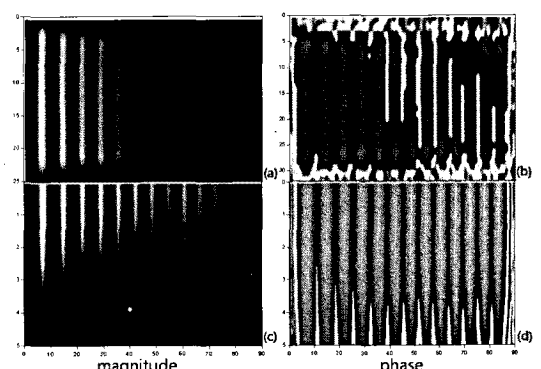


Fig. 4 THz image of aluminum slit: (a) Magnitude and (b) Phase image of step distance 1 mm, (c) Magnitude and (d) Phase image of step distance 0.1 mm

된 정렬상태를 나타내고 있음을 보여준다. 이러한 투과그래프 정렬상태의 차이가 이미지의 해상도에 상당한 영향을 미치고 있음을 확인할 수 있었다.

또한, 플로피디스크와 신용카드에 0.34 THz파를 투과시켰을 때 샘플 각 부분의 흡수율 차이에 따라 THz파의 투과율을 확실하게 구별할 수 있었으며 데이터 수집에 있어서 주사 스테이지의 시간지연의 차이가 이미지의 해상도에 상당한 영향을 미치는 것을 확인하였다. Fig. 6(a)~(d)와 Fig. 7(a)~(d)는 데이터 수집시 스테이지의 스텝거리를 기본 1 mm로 고정시키고 시간지연을 각각 달리 했을 때의 플로피디스크와 신용카드의 THz 이미지를 진폭과 위상정보로 나누어 나타낸 것이다. Fig. 6(a), (b)에서 나타난 것처럼 시간지연이 0초인 경우, 샘플에 대한 형태는 식별할 수 있으나 이미지 분해능이 떨어지는 반면, 시간지연을 1.5초로 했을 때의 이미지는 Fig. 6(c), (d)와 같이 0초에 비해 훨씬 선명한 영상을 얻을 수 있었다. 신용카드도 이와 마찬가지로 시간지연을 0초로 측정한 Fig. 7(a), (b)의 이미지와 비교해서, 시간지연을 1.5초로 측정했을 때가 Fig.

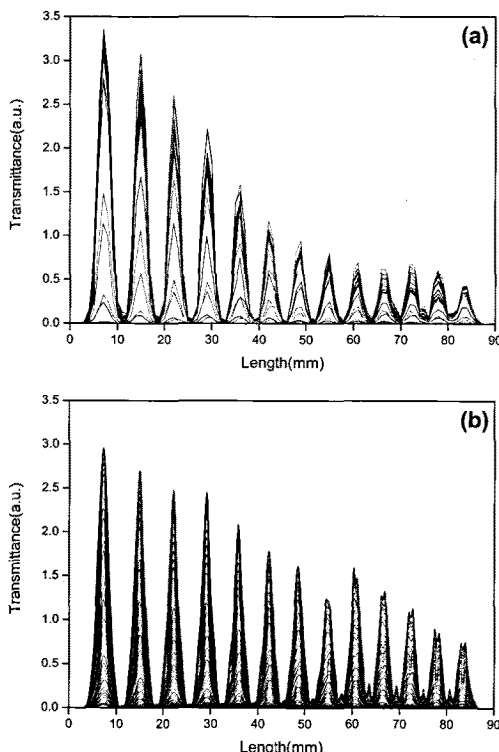


Fig. 5 Transmittance of aluminum slit: (a) Step distance 1 mm and (b) Step distance 0.1 mm

7(c), (d)에서 보이는 것과 같이 카드에 내재된 칩과 테두리, 금속 활자 부분의 이미지 측정 결과에서 뛰어난 분해능을 나타낸을 확인할 수 있다.

### 3.2. 수분 함유량에 따른 나뭇잎의 이미지 변화

THz파는 수분에 대한 흡수가 강하기 때문에 수분의 함유량에 따른 생체 조직이나 세포의 변화를 쉽게 관찰할 수 있다. 조직 세포의 경우, 정상일 때와 암이 발생했을 때의 수분의 차이는 확연히 다른 차이를 나타낸다. 암이 발생한 조직 세포는 정상세포보다 많은 수분을 함유하고 있어 THz파의 많은 흡수를 보일 것이다. 그 예로 나뭇잎의 수분 함유량에 따른 THz파 이미지 측정을 실시해 보았다. 우선 나뭇가지에서 나뭇잎을 확보한 후 그 무게를 측정한 결과 나뭇잎의 무게는 3.10 g을 나타내었고, 사진에 나타낸 것과 같이 나뭇잎을 고정시켜 THz

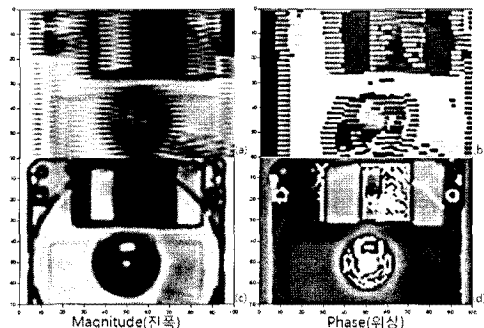


Fig. 6 THz image of floppy disk: (a) Magnitude, (b) Phase image of time delay "0 s", (c) Magnitude, (d) Phase image of time delay "1.5 s"

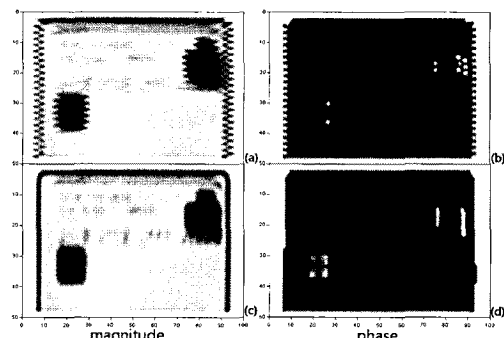


Fig. 7 THz image of credit card: (a) Magnitude and (b) Phase image of time delay "0 s", (c) Magnitude (d) Phase image of time delay "1.5 s"

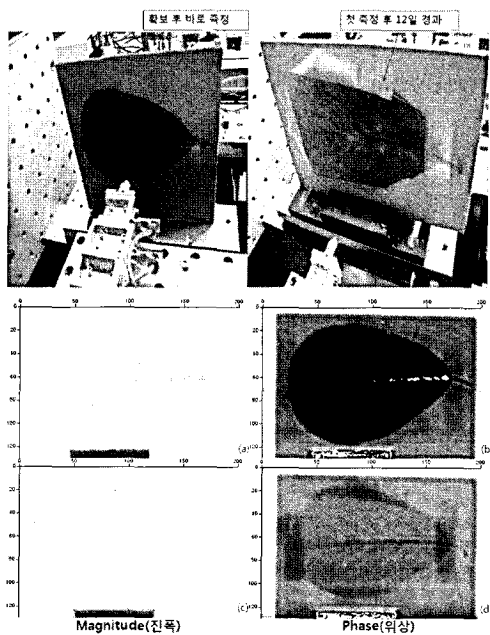


Fig. 8 THz image of a leaf: (a) Magnitude, (b) Phase image of fresh leaf, (c) Magnitude, (d) Phase image of a leaf after 12 days

파를 투과시킨 후 이미지를 측정하였다. 그리고 같은 샘플을 12일 경과한 후 무게를 측정하였고 1.13 g의 무게를 나타내었다. 이는 시간이 경과함에 따라 수분이 빠져나가 나타난 결과로 Fig. 8에 그 차이를 이미지로 나타내었다. 그림에 나타난 것과 같이 많은 수분을 함유하고 있을 때의 나뭇잎은 수분의 함유량에 따라 잎사귀와 줄기 부분이 선명하게 구분되는 반면, 오랜 시간이 지나 수분이 감소된 나뭇잎은 그 형태가 희미하게 나타났다. 만약, 나뭇잎에 함유된 수분이 모두 빠져나간다면 나뭇잎은 형태를 구분할 수 없게 될 것이다. 이와 같이 THz파는 수분에 매우 민감한 반응을 보이므로 의학 분야에서 생체조직의 암이나 화상 등의 질환을 진단하는데 유용하게 사용될 것이다.

### 3.3. 감춰진 위험을 확인을 위한 이미징 실험

최근 공항이나 공공장소에서의 보안검색을 위한 기술 연구가 전 세계적으로 활발히 수행되고 있는 가운데 THz 이미징 기술이 새로운 대안으로 떠오르고 있다. THz파는 인체에 무해하며 물과 금속을 제외한 거의 모든 물질을 투과할 수 있기 때문에

감춰진 위험물의 확인을 가능하게 한다. 다음 그림들은 각각 다른 종류의 포장재 외부를 이미징하여 포장재 내부 물체에 대한 이미지를 확인한 것이다. Fig. 9와 Fig. 10은 덮개가 있을 때와 없을 때의 종이상을 이미징하여 상자 내부를 확인한 결과로 두 실험 모두 내부 물체를 확실히 구별할 수 있었다. Fig. 11과 Fig. 12는 나무상자와 플라스틱 통 내

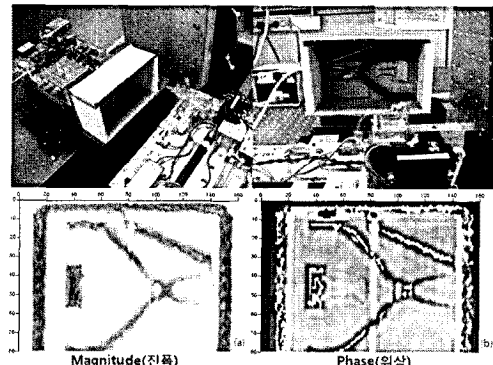


Fig. 9 THz image of paper box without cover

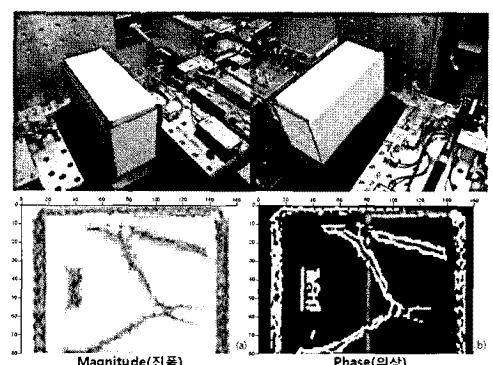


Fig. 10 THz image of paper box with cover

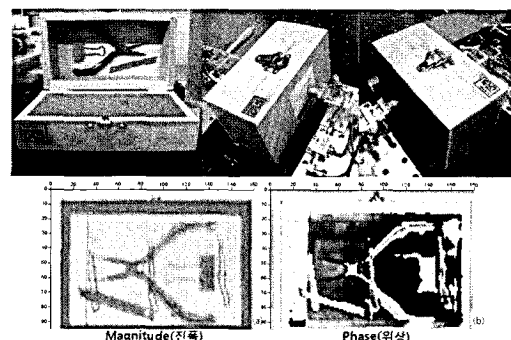


Fig. 11 THz image of wood box

부를 각각 이미징 실험한 결과로 이 또한 종이상자와 이미징 결과와 마찬가지로 포장재 내부의 물체를 정확하게 구별할 수 있었다. 마지막으로 Fig. 13은 두꺼운 종이상자 내부에 금속 나이프, 세라믹 나이프, 가위 등의 위험물을 위치한 후 내부를 이미징 측정한 결과이다. 그림에 나타난 것처럼 THz 파는 종이, 플라스틱, 세라믹 등의 비금속 물체에 대한 투과성이 뛰어남을 보여주는 동시에 다양한 물질의 포장재 내부를 확인할 수 있는 유용한 도구임을 보여준다.

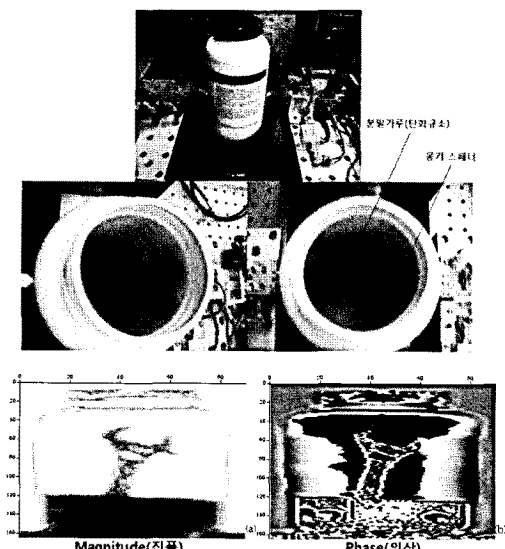


Fig. 12 THz image of plastic bottle

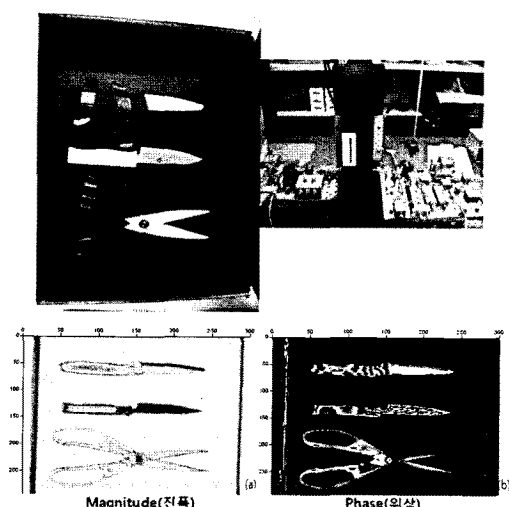


Fig. 13 THz image of concealed weapons

#### 4. 결 론

0.34 THz의 전자기파를 발생시키는 THz 송신기와 이를 검출하는 THz 수신기를 이용하여 소형 CW THz 이미징 시스템을 구성하여 샘플들의 2차원 이미지를 측정하였다. 실험을 통해 이미지 해상도와 관련된 주사 스텝이지의 시간지연과 스텝거리리를 변수로 두어 샘플 이미지 측정을 한 결과, 데이터 수집 시 시간지연이 길수록, 그리고 스텝거리가 짧을수록 이미지의 해상도가 훨씬 증가함을 확인하였다. 또한 수분 변화에 따른 나뭇잎의 이미지 변화와 종이상자, 나무상자, 플라스틱 통 등에 감춰진 위험물 확인을 위한 이미징 실험 결과 THz 이미징 기술이 바이오, 의학, 보안 등 다양한 분야에서 비파괴 영상기술로써 응용이 가능한 도구임을 확인할 수 있었다.

본 실험의 결과는 CW THz imaging 측정에서 필요한 최적의 이미징 조건을 제시하기 위한 기초 실험이며, 실험에서 사용된 소형 CW sub-THz 이미징 시스템은 앞으로 진행될 의료, 보안, 우주, 통신 등 다양한 분야에서의 빠르고 쉬운 실시간 THz 비파괴검사를 실현하는데 중요한 역할을 할 것으로 기대된다.

#### 참고문헌

- [1] R. A. Cheville and D. Grischkowsky, "Far-infrared terahertz time-domain spectroscopy of flames," Opt. Lett. Vol. 20, p. 1646 (1995)
- [2] C. Ronne, P. O. Astrand and S. R. Keiding, "THz spectroscopy of liquid H<sub>2</sub>O and D<sub>2</sub>O," Phys. Rev. Lett. Vol. 82, p. 2888 (1996)
- [3] J. S. Jang, T. I. Jeon, Y. J. Lee, J. H. Yoon and Y. J. Lee, "Characterization of a-hydroquinone and b-hydroquinone clathrates by THz time-domain spectroscopy," Chem. Phys. Lett. Vol. 468, pp. 37-41 (2009)
- [4] Q. Song, Y. Zhao, A. R. Sanchez, C. Zhang and X. Liu, "Fast continuous terahertz wave imaging system for security," Opt. Comm. Vol. 282(10), pp. 2019-2022 (2009)

- [5] Y. Oyama, L. Zhen, T. Tanabe and M. Kagaya, "Sub-terahertz imaging of defects in building blocks," NDT&E Int. Vol. 42, pp. 28-33 (2009)
- [6] Martin van Exter and D. Grischkowsky, "Characterization of an optoelectronic terahertz beam system," IEEE Transactions on Microwave Theory and Techniques. Vol. 38, pp. 1684-1691 (1990)
- [7] N. Karpowicz, H. Zhong, J. Xu, K. I. Lin, J. S. Hwang and X-C Zhang, "Comparison between pulsed terahertz time-domain imaging and continuous wave terahertz imaging," Semicond. Sci. Technol. Vol. 20, pp. 293-299 (2005)
- [8] N. Karpowicz, H. Zhong, C. Zhang, K. I. Lin, J. S. Hwang, J. Xu and X-C Zhang, "Compact continuous-wave subterahertz system for inspection applications," Appl. Phys. Lett. Vol. 86, 054105 (2005)
- [9] A. Dobroiu, M. Yamashita, Y. N. Ohshima, Y. Morita, C. Otani and K. Kawase, "Terahertz imaging system based on a backward-wave oscillator," Appl. Opt. Vol. 43, pp. 5637-5646 (2004)
- [10] Y. Chen, H. Liu, Y. Deng, D. Veksler, M. Shur and X. C. Zhang, "Spectroscopic characterization of explosives in the far infrared region," SPIE Defense and Security Symp. #5411-2 (2004)
- [11] K. McClatchey, M. T. Reiten and R. A. Cheville, "Time resolved synthetic aperture terahertz impulse imaging," Appl. Phys. Lett. Vol. 79, pp. 4485 - 4487 (2001)
- [12] S. Nakajima, H. Hoshina, M. Yamashita and C. Otani, "Terahertz imaging diagnostics of cancer tissues with a chemometrics technique," Appl. Phys. Lett. Vol. 90, 041102 (2007)
- [13] D. T. Petkie, C. Casto, F. C. D. Lucia, S. R. Murrill, B. Redman, R. L. Espinola, C. C. Franck, E. L. Jacobs, S. T. Griffin, C. E. Halford, J. Reynolds, S. O'Brien and D. Tofsted, "Active and passive imaging in the THz spectral region: phenomenology, dynamic range, modes, and illumination," J. Opt. Soc. Am. B. Vol. 25, pp. 1523-1531 (2008)
- [14] A. R. Sanchez, N. Karpowicz, J. Xu and X-C Zhang, "Damage and defect inspection with terahertz waves," The 4th International Workshop on Ultrasonic and Advanced Methods for Non-destructive Testing and Material Characterization, Dartmouth. MA. USA (2006)